



## پیش‌بینی عمر خستگی اتصالات جوش نقطه‌ای تحت بارگذاری برشی دینامیکی یک سویه

علی حبیبی زاده<sup>۱</sup>، سعید گلابی<sup>۲\*</sup>

۱- دانشجوی کارشناسی ارشد، مهندسی مکانیک، دانشگاه آزاد اسلامی واحد نجف آباد، نجف آباد

۲- دانشیار، مهندسی مکانیک، دانشگاه کاشان، کاشان

\* کاشان، صندوق پستی ۸۷۳۱۷۵۱۱۶۷

### چکیده

یکی از عوامل ایجاد سر و صدا در خودروهای مستهلك، جدایی اتصالات نقطه جوش در اثر پدیده خستگی می‌باشد. برای تعیین عمر خستگی نقطه جوش‌ها بر روی ورق‌های مورد استفاده در صنعت خودرو سازی در این تحقیق، عمر خستگی اتصالات جوش نقطه‌ای برای قطر ناگت ۶ میلی متر تحت بارگذاری برشی دینامیکی یک سویه روی ورق‌های ناک فولادی ST12 مورد بررسی قرار گرفته و اثر ضخامت و گام نقطه جوش‌ها طبق استاندارد C-G006 نسبت به یکدیگر ارزیابی شده است. برای این منظور نمونه تست طبق استاندارد DIN50165 انتخاب و در تحلیل المان محدود آزمایشگری شده است. برای تخمین عمر خستگی نقطه جوش از نرم افزار ABAQUS استفاده و برای تخمین عمر خستگی براحتی می‌توان از نرم افزار اف ای - سیپ و نمودار استاندارد ASME1998 برای فولاد استفاده گردید. عمر خستگی براحتی می‌توان از نرم افزار اف ای - سیپ و نمودار استاندارد ASME1998 برای فولاد استفاده گردید. عمر خستگی براحتی می‌توان از نرم افزار اف ای - سیپ و نمودار استاندارد ASME1998 برای فولاد استفاده گردید. همچنین نتایج المان محدود نشان می‌دهد که خروجی المان محدود خستگی از دستگاه است. خستگی که توسط نویسندهان این مقاله طراحی شده است، استفاده شد. نتایج نشان می‌دهد که خروجی المان محدود می‌تواند با تأثیر آزمایشات تطبیق خوبی دارد. همچنین نتایج المان محدود نشان می‌دهد که با افزایش ضخامت، استحکام و عمر خستگی افزایش می‌یابد. از دیگر نتایج بدست آمده می‌توان به عدم تأثیر گام نقطه جوش در حالت مقابله روی عمر خستگی اشاره نمود. از مهمترین خروجی‌های این پژوهش، نمودار نتایج - عمر برای نقطه جوش با قطر ناگت ۶ میلی‌متر روی ورق ST12 می‌باشد که می‌تواند در صنعت خودروسازی مورد استفاده طراحان قرار گیرد و موجب کاهش زمان تولید و افزایش راندمان گردد.

### اطلاعات مقاله

مقاله پژوهشی کامل

دریافت: ۲۴ تیر ۱۳۹۳

پذیرش: ۰۱ مهر ۱۳۹۳

ارائه در سایت: ۰۴ آبان ۱۳۹۳

کلید واژگان:

عمر خستگی

جوش مقاومتی نقطه‌ای

المان محدود

دستگاه تست خستگی

## Prediction of fatigue life of spot welding connections subjected to unidirectional dynamic shear load

Ali Habibizadeh<sup>1</sup>, Sa'id Golabi<sup>2\*</sup>

1- Department of Mechanical Engineering, Najaf Abad Branch, Islamic Azad University, Najaf Abad, Iran

2- Department of Mechanical Engineering, University of Kashan, Kashan, Iran

\* P.O.B. 8731751167 Kashan, Iran, golabi-s@kashanu.ac.ir

### ARTICLE INFORMATION

Original Research Paper

Received 15 July 2014

Accepted 23 September 2014

Available Online 26 October 2014

Keywords:

Fatigue life

Resistance spot welding

Finite element

Fatigue test machine

### ABSTRACT

Disjoining of spot welds in steel sheets because of fatigue failure is one of the main reasons for noise in used cars. Fatigue life of spot welding connections of ST12 steel sheets, used in car industry, with 6mm nugget diameter and subjected to uniaxial dynamic shear load is studied and determined in this research. Sheet thickness and other spot welding parameters including weld pitch are considered and compared according to C-G006 standard utilizing the test sample selected according to DIN50165 standard. ABAQUS and FE-SAFE software is used for static and fatigue life analysis respectively. To generate Stress-Number of life cycle (S-N) diagram, the equivalent fully reversed load is determined using Goodman and Gerber theories since the applied load is unidirectional. The resultant finite element results were verified experimentally by a fatigue test machine designed and manufactured during this study by the authors. The finite element results showed a good agreement with Gerber criterion and it was concluded that with increase in sheet thickness, both static strength and fatigue life would be increased. The results also indicate that the weld pitch has no effect on fatigue life. Stress-life graph for 6mm nugget diameter spot weld on ST12 sheet is the most important output of this research that can be used in automobile industry.

### جهت پیش‌بینی عمر خستگی و استحکام اتصالات نقطه جوش می‌توان

به روشهای تشخیص - عمر، کرنش - عمر و مکانیک شکست، اشاره نمود [۱]. محاسبه‌ی بارگذاری برشی در اتصالات نقطه جوش به دلیل وجود بارهای نوسانی در بدنه‌ی خودرو از اهمیت ویژه‌ای برخوردار است. لذا تکنیک‌های مختلف محاسبه‌ی عمر خستگی در اتصالات، ورق به ورق آزموده شده است تا بهترین روش‌ها برای تعیین عمر به دست آیند. از نمونه فعالیت‌های انجام

در عصر حاضر بسیاری از سازه‌های فلزی توسط اتصالات نقطه جوش به یکدیگر متصل می‌گردند. به عنوان مثال می‌توان به صنایع خودروسازی که در آن حدود ۳۰۰۰ تا ۴۰۰۰ نقطه جوش برای ایجاد یک خودرو مورد نیاز است، اشاره نمود. بنابراین استحکام و عمر خستگی این اتصالات از اهمیت بالایی برخودار می‌باشد.

### ۱- مقدمه

Please cite this article using:

A. Habibizadeh, S. Golabi, Prediction of fatigue life of spot welding connections subjected to unidirectional dynamic shear load, *Modares Mechanical Engineering*, Vol. 14, No. 15, pp. 361-368, 2015 (In Persian)

برای ارجاع به این مقاله از عبارت ذیل استفاده نمایید:

فرکانس طبیعی نسبت به عمر خستگی غیر خطی بوده و فرکانس طبیعی به طور چشمگیری در انتهای عمر خستگی کاهش می‌یابد. با استفاده از فرکانس طبیعی و ارتباش می‌توان محل ترک و ایجاد یک مدل تئوری برای پیش‌بینی طول ترک را ایجاد نمود. مقایسه نتایج پیش‌بینی عمر نشان می‌دهد که با استفاده از روش تغییر فرکانس طبیعی می‌توان نتایجی شبیه به حالت آزمایش بدست آورد [10]. روش الاستوپلاستیک المان محدود برای بدست آوردن تنش محلی و کرنش نزدیک ریشه ناگت در منطقه متأثر از حرارت، گره‌ها با فواصل مختلف نسبت به ریشه ناگت انتخاب شد، با روش‌های پیش‌بینی عمر خستگی جوش نقطه‌ای با معادله موروز اصلاح شده، معادله آسیب منسون- کافین و معادله آسیب اسمیت- واتسون- توپر پیش‌بینی می‌شود. نتایج پیش‌بینی عمر نشان داد که هر دو فرمول، نتایج خوبی با اطلاعات تجربی در عمر خستگی سیکل پایین دارد [11].

با توجه به پرکاربرد بودن ورق ST12 در صنعت خودروسازی و همچنین قطر ناگت جوش 6 میلی‌متر، هدف از این پژوهش بدست آوردن نمودار تنش- عمر برای ورق با ضخامت 1 میلی‌متر می‌باشد که با استفاده از این نمودار، طراحان خودرو بتوانند با توجه به استحکام مورد نیاز استاندارد از این نمودار استفاده نمایند و این موجب افزایش تولید و کاهش هزینه‌ها در صنعت خودروسازی می‌گردد.

## 2- مبانی تئوری

با توجه به اینکه هدف اصلی این تحقیق تعیین عمر خستگی نقطه جوش‌ها با قطر ناگت 6 میلی‌متر به طور تحلیلی و آزمایشی بر روی ورق‌های مورد استفاده در صنعت خودرو می‌باشد و با توجه به اینکه برای تحلیل و پیش‌بینی آزمایشی عمر خستگی بارگذاری یک سویه مطابق شکل 1 وارد می‌شود، در تحلیل‌ها از معیارهای گیر طبق رابطه (1) و گودمن طبق رابطه (2) استفاده گردیده است [1].

$$\frac{S_a}{S_f} + \left( \frac{S_m}{S_{ut}} \right)^2 = 1 \quad (1)$$

$$\frac{S_a}{S_f} + \frac{S_m}{S_{ut}} = 1 \quad (2)$$

## 3- آزمایش تجربی

### 3-1- آزمایش استاتیکی

ابتدا دو ورق فولادی ST12 به ابعاد  $147/5 \times 45 \times 1$  میلی‌متر مطابق شکل 2 بر روی یکدیگر قرار داده سپس پارامترهای فرآیندی جوش برای بدست آوردن قطر ناگت 6 میلی‌متر، تنظیم و به وسیله گان 6 سه نقطه جوش بر روی دو ورق ایجاد گردیده است. فاصله‌ی دو نقطه جوش را طبق استاندارد CG-006 حداقل 20 یا 25 میلی‌متر در نظر گرفته تا پدیده اتصال کوتاه در آن‌ها رخ ندهد.

جهت تست استاتیکی نمونه‌ها مطابق شکل 3 با قیچی تخریب مورد آزمایش قرار گرفته و پس از تخریب نمونه‌ها، قطعه کار مورد ارزیابی قرار گرفته است. اگر ناگت جوش بطور صحیح تشکیل شده باشد، قطر ناگت مطابق استاندارد CG-006 اندازه‌گیری می‌گردد. طبق استاندارد قطر ناگت می‌تواند تا  $0/1 \pm 1/10$  ترانس داشته باشد و اگر ناگت جوش نگرفته، ضعیف و یا قطر ناگت مناسب نباشد پارامترهای فرآیندی جوش را تغییر داده تا نقطه جوش با قطر ناگت مناسب ایجاد شود.

در شکل 4 نمونه تست تخریب برای قطر ناگت 6 میلی‌متر نشان داده شده است. همانطور که در شکل مشخص است پارگی در ورق ایجاد شده که این نشان دهنده مناسب بودن استحکام جوش است.

شده روش کانگ و همکارانش [2] می‌باشد که محل ایجاد ترک نیز در آنجا محاسبه می‌گردد. محاسبه‌ی عمر در تغییرات دامنه‌ای کرنش نیز به صورت سیکلیک در حالت‌های تنش برشی و ام.سی.پی<sup>1</sup> و تغییر تنش برشی در آنالیز المان محدود و تجربی مورد مقایسه قرار گرفته و نتایج قابل قبول حاصل شده است [3]. تغییرات فرکانس طبیعی بر اساس پیش‌بینی عمر خستگی یکی از معیارهای تعیین عمر خستگی و پیش‌بینی میزان عمر خستگی می‌باشد. به گونه‌ای که پس از گذشت 60 درصد از عمر خستگی پاسخ دینامیکی به شدت کاهش می‌یابد. ترک خستگی در سطح نمونه، معمولاً در لبه منطقه متأثر از حرارت<sup>2</sup> یا ناگت ظاهر می‌شود و تنها به وضوح بر روی سطح بیرونی اتصال در حدود 95% از عمر خستگی نمونه‌ها قابل مشاهده است. از آنجا که محل معمول ترک خستگی در نمونه‌های کششی - برشی به خوبی شناخته شده است، ممکن است در موارد خاص به منظور مشاهده ترک خستگی از عکس میکروگرافی استفاده شود [4]. پیش‌بینی عمر خستگی سازه‌های صفحه‌ای چند نقطه جوش داده شده با استفاده از فاکتور شدت تنش معادل، از دیگر روش‌ها برای بررسی عمر خستگی بوده و میزان تنش و کرنش در پیش‌بینی ترک می‌تواند توسط این معیار محاسبه گردد [5]. یکی از روش‌های تحلیل عمر خستگی، بررسی مسیر رشد ترک با استفاده از ضریب شدت تنش و همچنین روش‌های تجربی در برخی از سطوح مقاطع، مشخص می‌باشد. مدل اسکورکاپ<sup>3</sup> نمونه خوبی برای بررسی مقاومت و عمر خستگی نقطه جوش تحت حالت‌های ترکیبی بی‌باری و بارگذاری برشی است. فاکتور شدت تنش در این نمونه به صورت غیر یکنواخت بوده که به خاطر طراحی و نحوه بارگذاری روش مکانیک شکست، اغلب برای بررسی فاکتور شدت تنش ماقریم در نقاط بحرانی نقطه جوش مورد استفاده قرار گرفته است [6]. روش‌های نوبن مانند روش شبکه‌های عصبی نیز جهت بهینه سازی طراحی نقطه جوش از فعالیت‌های صورت گرفته می‌باشد [7]. تعیین عمر خستگی و مقایسه‌ی بین مقاومت خستگی نقطه جوش و فلز پایه در مقاطع تی شکل و مقایسه‌ی آن با حالت تجربی توسط لی و همکارانش انجام شده است. این مطالعه جهت بررسی عمر خستگی در پنجه‌های اتوبوس و نحوه ارتباط میان مدل معروف شده و مدل واقعی می‌باشد [8].

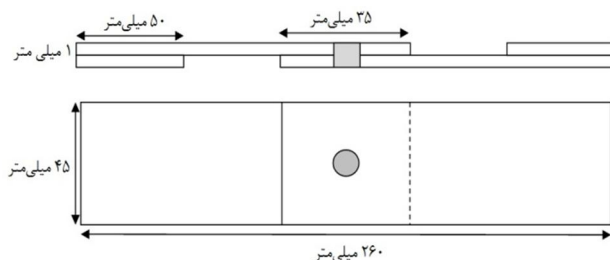
سین و همکارانش، عمر خستگی را توسط ضریب لاغری<sup>4</sup> تخمین زده‌اند. ضریب براساس تنش گسیختگی و زمان بدست آمده توسط تست شبه استاتیکی برشی بدست می‌آید. روش افت پتانسیل جریان مستقیم برای بررسی، آغاز شد و انتشار ترک‌ها علاوه بر آزمون فوق، مورد استفاده قرار گرفت. در این روش ضریب لاغری را توسط جریان جوش تغییر می‌دهیم که مشخصه ثابت از 2 یا 3 لبه جوش می‌باشد. عمر خستگی از معادلات تخمین زده شده و با نتایج تجربی مقایسه می‌شود و در نهایت آنالیز بین تعداد لبه، جریان جوش و عمر خستگی با این روش می‌توان زمان ذخیره فرآیند و هزینه برای یک سیکل عمر سازه را پیش‌بینی کرد [9]. در بارگذاری تصادفی سه روش برای تعیین عمر وجود دارد: 1- روش تنش اسمی با استفاده از معادله پیش‌بینی عمر خستگی 2- کرنش محلی برای بدست آوردن عمر شروع ترک 3- استفاده از روش مکانیک شکست برای بدست آوردن عمر انتشار ترک. روش دوم به دلیل اندازه-گیری در ریشه ناگت و همچنین تغییرات خواص مکانیکی در آن منطقه سخت-تر است و آسیب می‌تواند باعث کاهش سختی سازه شود. اندازه‌گیری فرکانس طبیعی می‌تواند به عنوان یک روش غیر مخرب برای آسیب باشد. تغییرات

1- Modified Coach Peel (MCP)

2- HAZ

3- Square-cup

4- Lethargy



شکل ۵ مدل اتصال نقطه جوش طبق استاندارد DIN50165



شکل 6 دستگاه تست خستگی

| جدول ۱ پارامترهای فرآیندی |                           |             |       |
|---------------------------|---------------------------|-------------|-------|
| زمان جوش (میلی ثانیه)     | نیروی الکترود (کیلو آمپر) | تیپ الکترود | جریان |
| 9                         | 260                       | 10          | D6    |

جدول 2 خصوصیات مکانیکی فولاد ST12

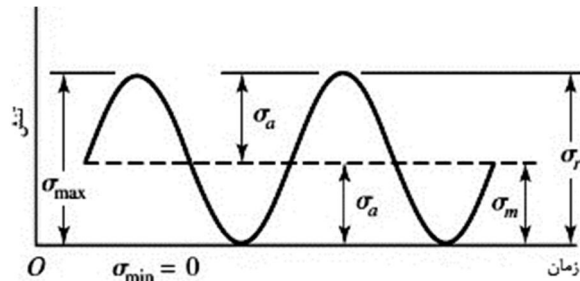
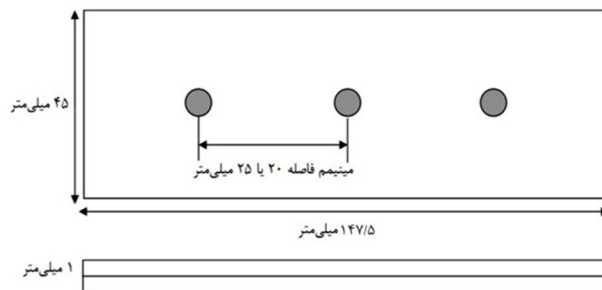
| مدول یانگ    | ضریب         | تنشی تسلیم   | تنشی نهایی   | تغییر |
|--------------|--------------|--------------|--------------|-------|
| (مگا پاسگال) | (مگا پاسگال) | (مگا پاسگال) | (مگا پاسگال) | طول   |
| 0/42         | 314          | 233          | 0/3          | 200   |

پارامترهای فرآیندی (شدت جریان، نیروی الکترود و زمان) و همچنین نوع الکترود، متناسب با قطر ناگت 6 مطابق جدول شماره 1 مورد استفاده قرار گرفته است. جنس الکترود از مس-کروم-زیرکونیوم می‌باشد. همچنین خصوصیات مکانیکی فولاد ST12 مطابق جدول شماره 2 می‌باشد.

برای تست نقطه جوش‌ها از دستگاه تست خستگی محوری با نیروی کششی - برشی مطابق شکل 6 مورد استفاده قرار گرفته است. قابل ذکر است که مکانیزم این دستگاه بصورت جدید بوده و توسط نویسنده‌گان این مقاله طراحی و ساخته شده است. مکانیزم دستگاه بصورت سیستم لنگ می‌باشد و با تغییر فاصله لنگ از مرکز فلاپویل نیروی نظر توسط فشرده شدن فنر تأمین می‌گردد. همچنین تست‌ها در دمای اتاق و در فرکانس 2/5 هرتز انجام شده است.

مراحل تست خستگی بدین صورت است که ابتدا نمونه تست را بین فک‌های دستگاه بسته (شکل 7-الف) سپس نیروی دستگاه را تنظیم نموده و تست شروع می‌گردد. پس از طی تعدادی سیکل ترک اولیه در نمونه ایجاد می‌شود (شکل 7-ب) و در ادامه ترک گسترش یافته (شکل 7-ج) و در نهایت پدیده شکست در ورق و یا نقطه جوش به وجود می‌آید. (شکل 7-د)

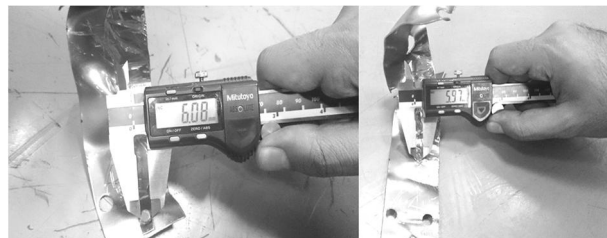
نتایج بدست آمده از تست خستگی نقطه جوش با قطر ناگت 6 میلی‌متر تحت نیروی 4000، 5000 و 1000 نیوتون به ترتیب مطابق جداول 4، 3 و 5 می‌باشد. همچنین نمونه تست خستگی پس از شکست تحت نیروی 5000 و 4000 نیوتون مطابق شکل 8 می‌باشد.

شکل 1 نمودار تنش تکرار شونده یک سویه  $R=0$  و  $A=1$ 

شکل 2 نمونه برای تست استاتیکی



شکل 3 تست استاتیکی نمونه با قیچی تخریب



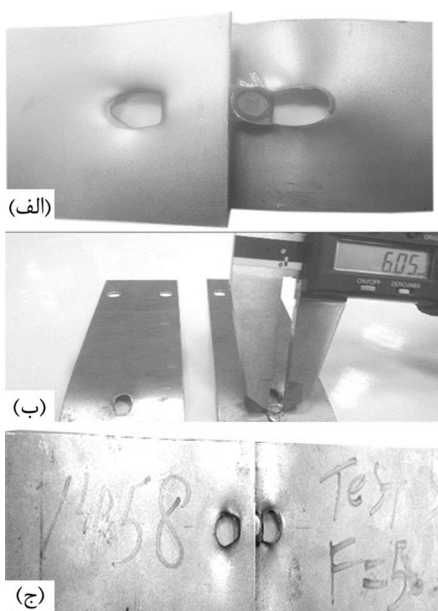
شکل 4 اندازه‌گیری نقطه جوش با قطر ناگت 6 میلی‌متر پس از تست تخریب

همچنین پس از اطمینان از استحکام جوش قطر ناگت 6 میلی‌متر پس از تخریب همراهی که برای قطر ناگت 6 میلی‌متر تنظیم شده بودند، عدد 6/08 و 5/97 توسط کولیس قرائت شد، که طبق استاندارد CG-006 مورد تایید می‌باشد.

پس از اطمینان از صحت قطر نقطه جوش و استحکام مناسب آن با همان گان و پارامترهایی که توانسته تست تخریب را پاس کند 15 نمونه تست برای آزمایش خستگی ایجاد گردید، که 5 نمونه تحت بارگذاری 1000 نیوتون، 5 نمونه تحت بارگذاری 4000 نیوتون و 5 نمونه تحت بارگذاری 5000 نیوتون قرار داده شدند.

### 3-2- آزمایش خستگی

صفحاتی از جنس فولاد ST12 به ضخامت 1 میلی‌متر مطابق استاندارد DIN50165 و با ایجاد یک نقطه جوش روی آن مورد بررسی قرار گرفت. مدل اتصالات نقطه جوش مورد استفاده در این تحقیق مطابق شکل 5 می‌باشد.



شکل 8 نمونه تست خستگی با قطر ناگت 6 میلی‌متر تحت نیروی (الف) 1000 نیوتون  
ب) 4000 نیوتون ج) 5000 نیوتون

جدول 5 نتایج آزمایش خستگی نقطه جوش با قطر ناگت 6 میلی‌متر تحت نیروی 1000 نیوتون

| شماره نمونه | قطر ناگت (میلی‌متر) | نسبت فرکانس (رنش(R)) | نیرو (نیوتون) | تعداد سیکل | محل شکست |
|-------------|---------------------|----------------------|---------------|------------|----------|
| HAZ 566792  | 0                   | 2/5                  | 1000          | 6/1        | 1        |
| HAZ 518953  | 0                   | 2/5                  | 1000          | 6          | 2        |
| HAZ 520369  | 0                   | 2/5                  | 1000          | 6          | 3        |
| HAZ 489875  | 0                   | 2/5                  | 1000          | 5/9        | 4        |
| HAZ 549768  | 0                   | 2/5                  | 1000          | 6          | 5        |

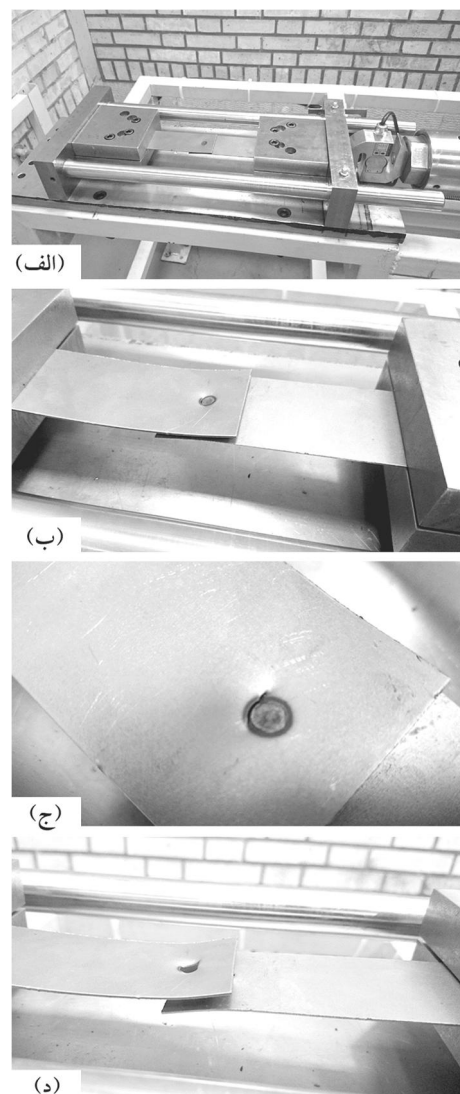
در شکل 9 نتایج حاصل از آزمایش تجربی برای 15 نمونه تست تحت بارگذاری 1000، 4000 و 5000 نیوتون نمایش داده شده است. همانطور که از شکل استنتاج می‌شود عمر خستگی با افزایش نیرو، کاهش می‌یابد همچنین نتایج آزمایشات به یکدیگر نزدیک می‌باشد.

#### 4- شبیه سازی المان محدود

برای مدلسازی و شبیه سازی اتصالات نقطه جوش جهت تحلیل استاتیکی از نرم‌افزار آباکوس استاندارد<sup>1</sup> و همچنین برای تحلیل خستگی از نرم افزار اف‌ای-سیف<sup>2</sup> استفاده شده است.

از خروجی نرم‌افزار آباکوس به عنوان ورودی نرم‌افزار اف‌ای-سیف استفاده می‌شود و جهت تحلیل خستگی از نموادر خستگی فولاد طبق استاندارد ASME 1998 استفاده شده است.

المان انتخابی برای مدلسازی نقطه جوش در نرم‌افزار آباکوس المان C3D8R است. این المان، یک المان سه بعدی با هشت گره است که از روش انتگرال کاهش یافته برای حل انتگرال‌ها استفاده می‌کند. این المان در هر گره دارای سه درجه آزادی جابه‌جاکی در جهت محورهای X، Y و Z است همچنین جهت تحلیل دقیق‌تر مدل را به سه منطقه فلز پایه، منطقه متاثر از جوش و ناگت تقسیم می‌کنیم که در محل ناگت و منطقه متاثر از حرارت از المان‌هایی ریزتر مطابق شکل 10 استفاده شده است. خواص مکانیکی ورق و نقطه جوش یکسان در نظر گرفته شده است.



شکل 7 مراحل تست خستگی (الف) نصب نمونه تست در دستگاه (ب) ایجاد ترک اولیه (ج) گسترش ترک (د) شکست نمونه

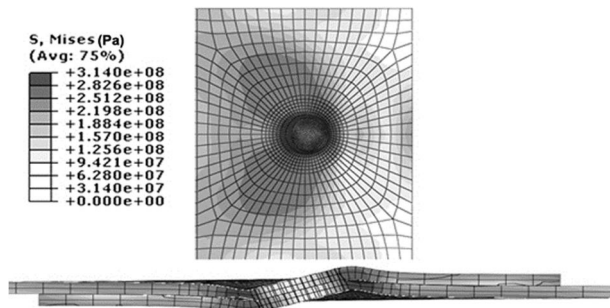
جدول 3 نتایج آزمایش خستگی نقطه جوش با قطر ناگت 6 میلی‌متر تحت نیروی 5000 نیوتون

| شماره نمونه | قطر ناگت (میلی‌متر) | نسبت فرکانس (رنش(R)) | نیرو (نیوتون) | تعداد سیکل | محل شکست |
|-------------|---------------------|----------------------|---------------|------------|----------|
| HAZ 17045   | 0                   | 2/5                  | 5000          | 6          | 1        |
| HAZ 18729   | 0                   | 2/5                  | 5000          | 6/1        | 2        |
| HAZ 14720   | 0                   | 2/5                  | 5000          | 5/9        | 3        |
| HAZ 16853   | 0                   | 2/5                  | 5000          | 5/9        | 4        |
| HAZ 16238   | 0                   | 2/5                  | 5000          | 6          | 5        |

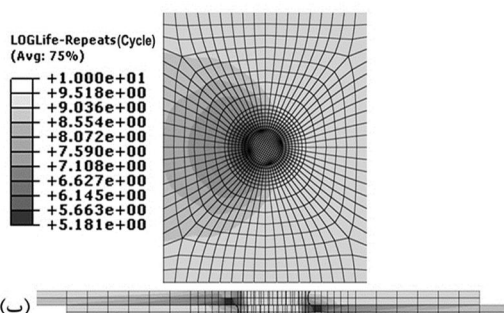
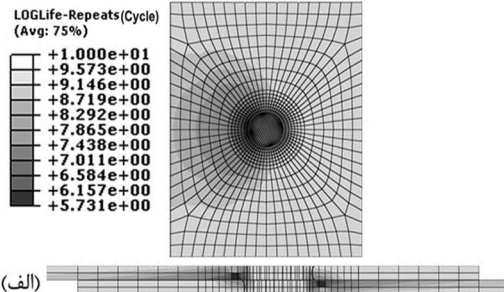
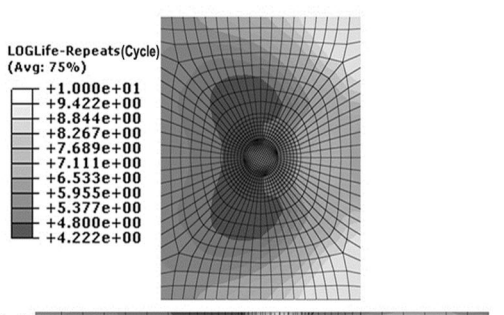
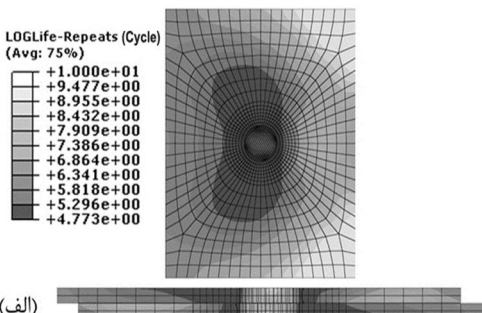
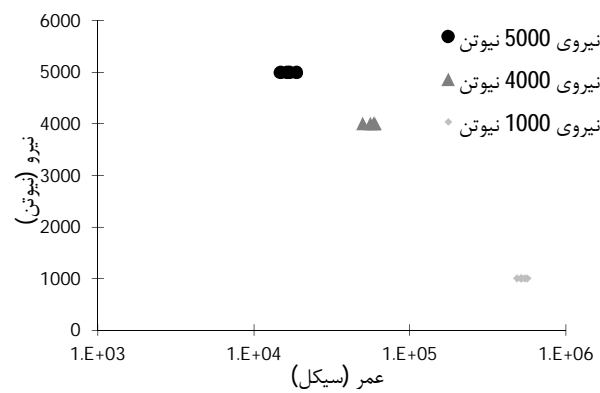
جدول 4 نتایج آزمایش خستگی نقطه جوش با قطر ناگت 6 میلی‌متر تحت نیروی 4000 نیوتون

| شماره نمونه | قطر ناگت (میلی‌متر) | نسبت فرکانس (رنش(R)) | نیرو (نیوتون) | تعداد سیکل | محل شکست |
|-------------|---------------------|----------------------|---------------|------------|----------|
| HAZ 56005   | 0                   | 2/5                  | 4000          | 6          | 1        |
| HAZ 59748   | 0                   | 2/5                  | 4000          | 6/1        | 2        |
| HAZ 50789   | 0                   | 2/5                  | 4000          | 5/9        | 3        |
| HAZ 49857   | 0                   | 2/5                  | 4000          | 5/9        | 4        |
| HAZ 58807   | 0                   | 2/5                  | 4000          | 6/1        | 5        |

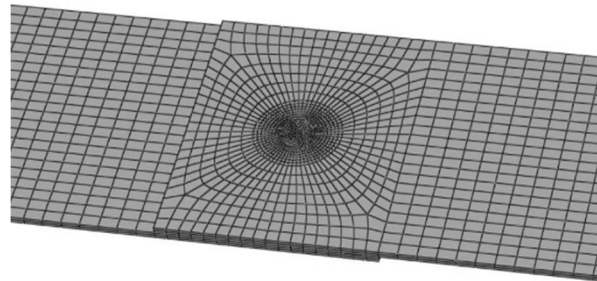
1- Abaqus/Standard  
2- Fe-Safe



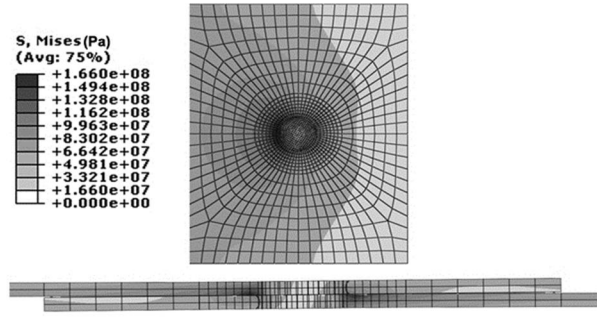
شکل 13 کانتور تنش فون مایز برای قطر ناگت 6 میلی‌متر تحت نیروی 5000 نیوتون

شکل 14 تحلیل خستگی برای قطر ناگت 6 میلی‌متر تحت نیروی 1000 نیوتون (الف)  
ثوری گربر، (ب) ثوری گودمنشکل 15 تحلیل خستگی برای قطر ناگت 6 میلی‌متر تحت نیروی 4000 نیوتون (الف)  
ثوری گربر، (ب) ثوری گودمن

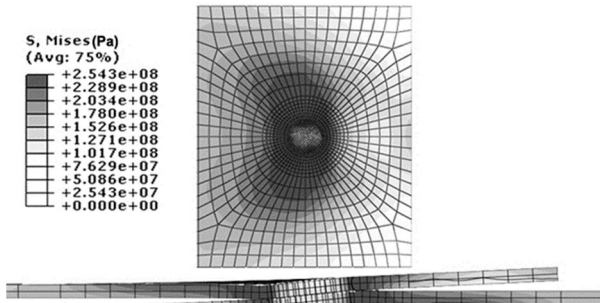
شکل 9 نمودار نیرو - عمر خستگی برای قطر ناگت 6 میلی‌متر تحت نیروی 1000، 4000 و 5000 نیوتون



شکل 10 مدل‌سازی و مش بندی ورق و نقطه جوش با المان سه بعدی جامد



شکل 11 کانتور تنش فون مایز برای قطر ناگت 6 میلی‌متر تحت نیروی 1000 نیوتون



شکل 12 کانتور تنش فون مایز برای قطر ناگت 6 میلی‌متر تحت نیروی 4000 نیوتون

**4-1- تأثیر نیرو بر عمر خستگی**  
در شکل 11، 12 و 13 به ترتیب نتایج تحلیل استاتیکی براساس کانتور تنش فون مایز برای قطر ناگت 6 میلی‌متر تحت نیروی 1000، 4000 و 5000 نیوتون نمایش داده شده است.

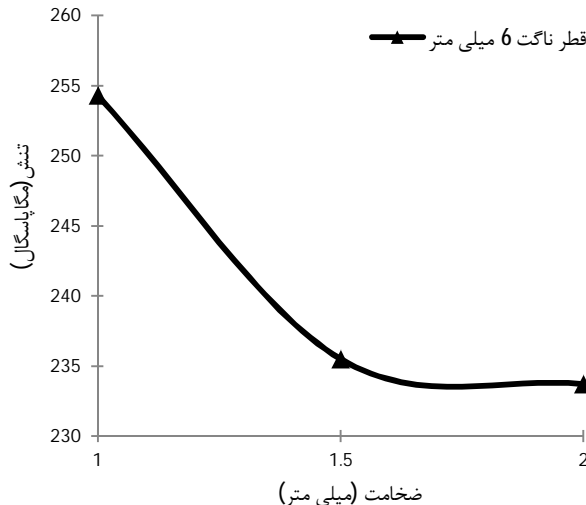
در شکل 14، 15 و 16 به ترتیب نتایج تحلیل خستگی برای قطر ناگت 6 میلی‌متر تحت نیروی 1000، 4000 و 5000 نیوتون براساس دو ثوری گربر و گودمن نمایش داده شده است.

افزایش ضخامت ورق، عمر خستگی افزایش می‌یابد. این افزایش عمر خستگی در ضخامت ۱ به ۱/۵ بصورت خطی افزایش می‌یابد ولی از ضخامت ۲ به ۱/۵ افزایش عمر خستگی بسیار ناچیز می‌شود [12].

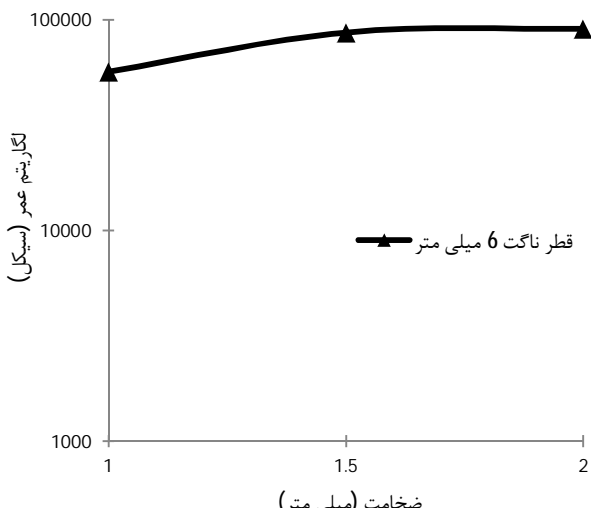
#### 3-4- تأثیر گام نقطه جوش بر عمر خستگی

برای تعیین مینیمم گام نقطه جوش‌ها از استاندارد KES-006 استفاده شده است. طبق این استاندارد مینیمم گام نقطه جوش‌ها از مرکز ناگت‌های پدیده اتصال کوتاه در آن رخ ندهد همچنین در این استاندارد ماکریم گام طرح نشده است. بنابراین جهت تحلیل استاتیکی ابتدا دو ورق به ابعاد ۱47/5×120×1 میلی‌متر حدود 20 میلی‌متر در نظر گرفته شده تا

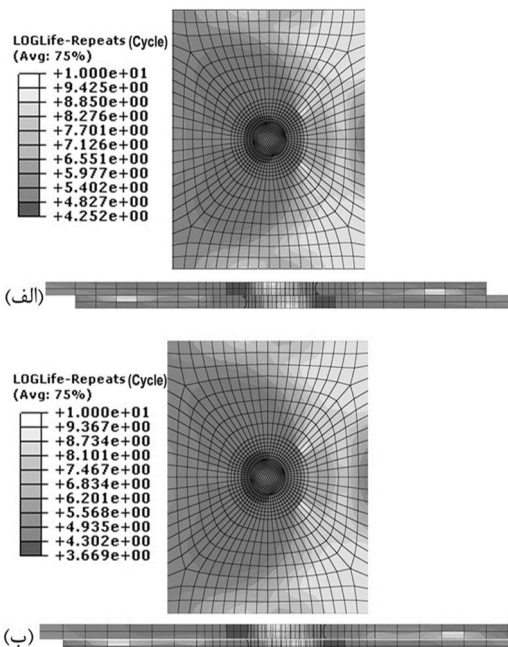
جهت تحلیل المان محدود استاتیکی و خستگی دو نقطه جوش به قطر ناگت 6 میلی‌متر و گام 20 تا 100 میلی‌متر تحت نیروهای 1000 و 3000 را مورد تحلیل قرار می‌دهیم نتایج تحلیل استاتیکی و خستگی برای نیروی 1000 و 3000 نیوتن به ترتیب مطابق جدول 6 و 7 می‌باشد. همانطور که از نتایج جداول 6 و 7 مشخص است گام نقطه جوش تاثیری بر عمر خستگی ندارد.



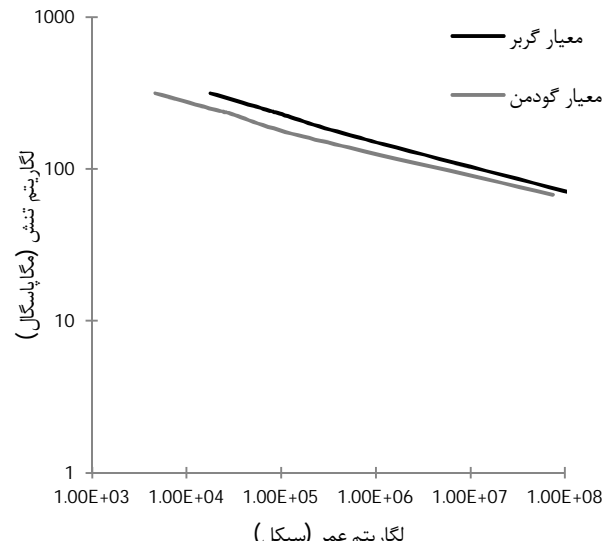
شکل 18 نمودار تنفس بر حسب ضخامت براساس تنفس فون مایزر تحت نیروی 4000 نیوتن



شکل 19 نمودار لگاریتم عمر بر حسب ضخامت براساس تنفس گربر تحت نیروی 4000 نیوتن



شکل 16 تحلیل خستگی برای قطر ناگت 6 میلی‌متر تحت نیروی 5000 نیوتن (الف)  
تشویی گربر، (ب) تشویی گودمن

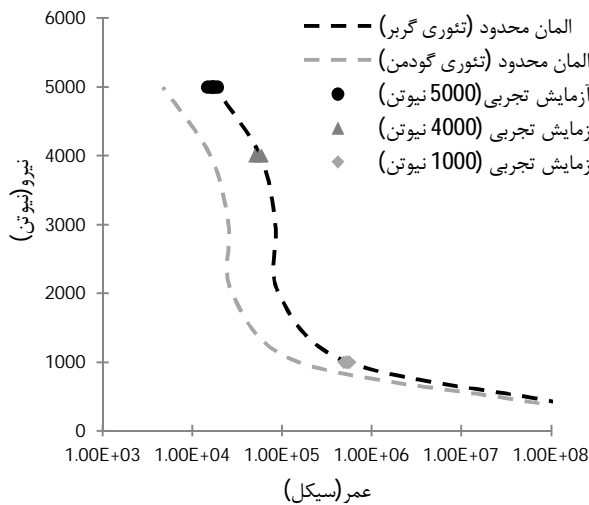


شکل 17 نمودار لگاریتم تنفس - عمر برای قطر ناگت 6 میلی‌متر طبق تشویی گودمن و گربر  
نتایج تحلیل المان محدود استاتیکی نقطه جوش برای تنفس گربر و گودمن برای قطر ناگت 6 میلی‌متر تحت نیروی 4000-5000 نیوتن در شکل 17 نمایش داده شده است.

#### 4-2- تأثیر ضخامت بر عمر خستگی

جهت بررسی اثر ضخامت بر روی عمر خستگی، از سه ورق به ضخامت ۱/۵ و ۲ میلی‌متر در تحلیل استاتیکی و خستگی استفاده شده است. نتیجه تحلیل استاتیکی نقطه جوش با قطر ناگت 6 میلی‌متر تحت نیروی 4000 نیوتن در شکل 18 نمایش داده شده است. همانطور که از نمودار مشخص است با افزایش ضخامت مقدار تنفس کاهش می‌یابد [12].

همچنین نتایج تحلیل خستگی نقطه جوش با قطر ناگت 6 میلی‌متر تحت نیروی 4000 نیوتن، براساس دو تشویی گربر و گودمن به ترتیب مطابق شکل 19 و 20 می‌باشد. همانطور که از روند نمودارها مشخص است با



شکل 22 نمودار مقایسه‌ای نیرو - عمر خستگی مربوط به نتایج المان محدود برای تئوری‌های گودمن و گربر با نتایج تست برای قطر ناگت 6 میلی‌متر و نیروی 1000، 4000 و 5000 نیوتون

جدول 8 درصد خطای آزمایش تجربی خستگی با المان محدود تئوری گودمن

| قطر ناگت<br>آزمایش تجربی<br>با المان محدود | میانگین عمر خستگی (سیکل)         |                  | درصد خطای                     |                    |
|--|----------------------------------|------------------|-------------------------------|--------------------|
|  | آزمایش<br>تجربی<br>(تئوری گودمن) | نیرو<br>(نیوتون) | آزمایش<br>تجربی<br>(میلی‌متر) | نیرو<br>(میلی‌متر) |
| 72   | 4664                             | 16717            | 5000                          | 6                  |
| 71   | 15901                            | 55041            | 4000                          | 6                  |
| 71   | 151626                           | 529151           | 1000                          | 6                  |

جدول 9 درصد خطای آزمایش تجربی خستگی با المان محدود تئوری گربر

| قطر ناگت<br>آزمایش تجربی<br>با المان محدود | میانگین عمر خستگی (سیکل)        |                  | درصد خطای                     |                    |
|--|---------------------------------|------------------|-------------------------------|--------------------|
|  | آزمایش<br>تجربی<br>(تئوری گربر) | نیرو<br>(نیوتون) | آزمایش<br>تجربی<br>(میلی‌متر) | نیرو<br>(میلی‌متر) |
| 7  | 17873                           | 16717            | 5000                          | 6                  |
| 3  | 56849                           | 55041            | 4000                          | 6                  |
| 1/6  | 537596                          | 529151           | 1000                          | 6                  |

در جداول 8 و 9 به ترتیب درصد خطای نتایج آزمایشات تجربی خستگی با المان محدود تئوری گودمن و گربر را نشان می‌دهد. همانطور که از جداول استخراج می‌شود نتایج آزمایشات تجربی برای نیروی 1000، 4000 و 5000 نیوتون حدود 72 درصد خطای با تئوری گودمن و حدود 4 درصد خطای با تئوری گربر دارد.

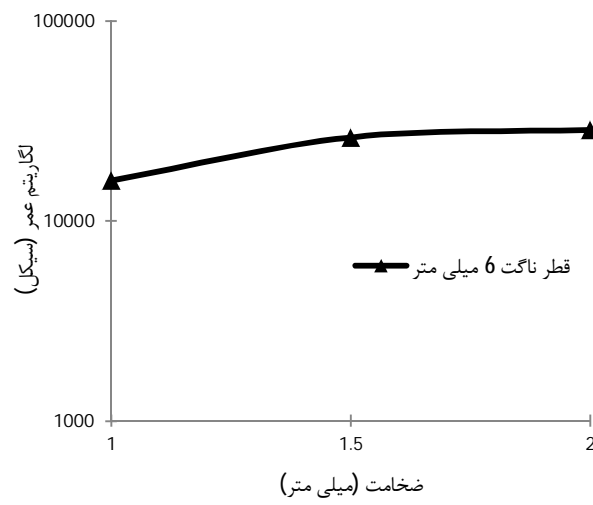
## 6- نتیجه‌گیری و جمع‌بندی

1- با افزایش نیرو از 400 به 5000 نیوتون، عمر خستگی کاهش می‌یابد. با توجه به نتایج آزمایش تجربی و المان محدود، عمر خستگی برای ناگت 6 در نیروی 400 نیوتون حدود  $3/3$  برابر بیشتر از همان قطر در نیروی 5000 نیوتون می‌باشد.

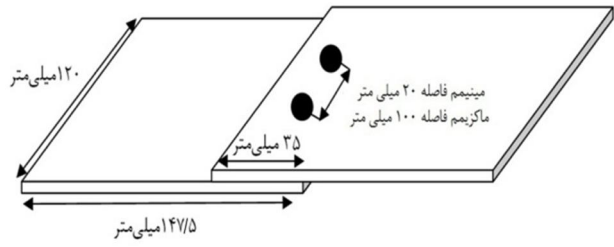
2- از نتایج المان محدود و تست به نظر می‌رسد که خستگی و شکست بیشتر در منطقه متأثر از جوش به وجود می‌آید.

3- مقایسه نتایج المان محدود و آزمایشات تجربی نشان می‌دهد که آزمایشات تجربی با المان محدود معیار گربر تطابق بسیار نزدیکی دارد و حدود 4 درصد خطای بین آنها وجود دارد.

4- نتایج حاصل از تعییر گام نقطه جوش تحت نیروی 1000 و 3000 نیوتون



شکل 20 نمودار لگاریتم عمر بر حسب ضخامت براساس تئوری گودمن تحت نیروی 4000 نیوتون



شکل 21 مدل اتصال نقطه جوش تحت گام متفاوت

جدول 6 نتایج تحلیل استاتیکی و خستگی برای قطر ناگت 6 میلی‌متر تحت نیروی 3000 نیوتون برای فواصل 20-100 میلی‌متر

| قطر ناگت<br>معیار | تنش<br>گربر | نیروی هر<br>گودمن | نقطه جوش<br>(مگاپاسگال) | گام نقطه<br>جوش (میلی‌متر) | قطر ناگت<br>معیار | تنش<br>گربر | نیروی هر<br>گودمن | نقطه جوش<br>(مگاپاسگال) | گام نقطه<br>جوش (میلی‌متر) |
|-------------------|-------------|-------------------|-------------------------|----------------------------|-------------------|-------------|-------------------|-------------------------|----------------------------|
| 84418             | 25210       | 236/8             | 3000                    | 20                         | 85087             | 25448       | 236/7             | 3000                    | 40                         |
| 84285             | 25163       | 237               | 3000                    | 60                         | 81790             | 24267       | 237/9             | 3000                    | 80                         |
| 80999             | 23984       | 238/1             | 3000                    | 100                        |                   |             |                   |                         |                            |

جدول 7 نتایج تحلیل استاتیکی و خستگی برای قطر ناگت 6 میلی‌متر تحت نیروی 1000 نیوتون برای فواصل 20-100 میلی‌متر

| قطر ناگت<br>معیار | تنش<br>گربر | نیروی هر<br>گودمن | نقطه جوش<br>(مگاپاسگال) | گام نقطه<br>جوش (میلی‌متر) | قطر ناگت<br>معیار | تنش<br>گربر | نیروی هر<br>گودمن | نقطه جوش<br>(مگاپاسگال) | گام نقطه<br>جوش (میلی‌متر) |
|-------------------|-------------|-------------------|-------------------------|----------------------------|-------------------|-------------|-------------------|-------------------------|----------------------------|
| 134688            | 4445        | 198/4             | 1000                    | 20                         | 136157            | 45112       | 198/3             | 1000                    | 40                         |
| 133729            | 43557       | 198/5             | 1000                    | 60                         | 133602            | 42739       | 198/7             | 1000                    | 80                         |
| 138495            | 46562       | 198               | 1000                    | 100                        |                   |             |                   |                         |                            |

## 5- مقایسه نتایج المان محدود و آزمایشات تجربی

نتایج حاصل از آزمایشات تجربی برای نقطه جوش با قطر ناگت 6 میلی‌متر و المان محدود در شکل 22 نشان داده شده است. همانطور که از نمودار مشخص است نتایج تجربی تطابق بسیار خوبی با نتایج المان محدود گربر دارد.

- [2] H. Kang, M. E. Barkey, Y. Lee, Evaluation of multiaxial spot weld fatigue parameters for proportional loading, *International Journal of Fatigue* 22, pp. 691–702, 2000.
- [3] N. Pan, S. Sheppard, Spot welds fatigue life prediction with cyclic strain range, *International Journal of Fatigue* 24, pp. 519–528, 2002.
- [4] D. G. Shang, M. E. Barkey, Y. Wang, T. C. Lim, Effect of fatigue damage on the dynamic response frequency of spot-welded joints, *International Journal of Fatigue* 25, pp. 311–316, 2003.
- [5] H. Lee, N. Kim, Fatigue life prediction of multi-spot-welded panel structures using an equivalent stress intensity factor, *International Journal of Fatigue* 26, pp. 403–412, 2004.
- [6] S. H. Lin, J. Pan, P. Wung, J. Chiang, A fatigue crack growth model for spot welds under cyclic loading conditions, *International Journal of Fatigue* 28, pp. 792–803, 2006.
- [7] J. M. Park, H. T. Kang, Prediction of fatigue life for spot welds using back-propagation neural networks, *Materials and Design* 28, pp. 2577–2584, 2007.
- [8] D. H. Bae, G. Y. Lee and S. K. Park , Fatigue Design Approach For The Spot-Welded T-type Member Using a Simulated Single Spot-Welded Joint, *International Journal of Automotive Technology*, Vol. 9, No. 2, pp. 197–201, 2008.
- [9] S. R. Sin, S. M. Yang, H. S. Yu, C. W. Kim and H. Y. Kang , Fatigue Analysis for a Multi-Lap Spot Welded Joint of High Strength Steel Using Quasi Static Tensile-Shear Test, *International Journal of Automotive Technology*, Vol. 9, No. 1, pp. 81–86, 2008.
- [10] R. J. Wang, D. G. Shang, Low-cycle fatigue life prediction of spot welds based on hardness distribution and finite element analysis, *International Journal of Fatigue* 31, pp. 508–514, 2009.
- [11] H. T. Kang, I. Accors, B. Patel, E. Pakalnins, Fatigue performance of resistance spot welds in three sheet stack-up, *Procedia Engineering* 2, pp. 129–138, 2010.
- [12] M.M. Rahman, A.B. Rosli, M.M. Noor, M.S.M. Sani and J.M. Julie, Effects of Spot Diameter and Sheets Thickness on Fatigue Life of Spot Welded Structure based on FEA Approach, *American Journal of Applied Sciences*, pp. 137–142, 2009.

نمان می‌دهد با افزایش گام نقطه جوش از 100-20 میلی‌متر تأثیری روی استحکام و عمر خستگی ندارد.

5- براساس نتایج تحلیل اجزا محدود با افزایش ضخامت ورق، عمر خستگی افزایش می‌یابد. بدین صورت که با افزایش ضخامت ورق از 1 به 1/5 عمر خستگی طبق تئوری‌های گربر و گودمن به میزان 1/4 برابر و با افزایش ضخامت ورق از 1/5 به 2 میلی‌متر حدود 1/04 برابر افزایش می‌یابد. همچنین آزمایش تجربی درستی این نتیجه را برای ورق با ضخامت 1 میلی‌متر و کمتر صحه گذاری کرده است.

6- از نمودار تنش – عمر بدست آمده از این پژوهش می‌توان به عنوان نمودار مرجع جهت تعیین تعداد نقطه جوش با توجه به استحکام مورد نظر طراح در صنعت خودروسازی، مورد استفاده قرار گیرد. که از مزایای آن می‌توان به استحکام بیشتر خودرو، کاهش هزینه‌ها و افزایش راندمان اشاره نمود.

## 7- فهرست علاوه‌الزام

دامنه تنش (مگا پاسکال)  $S_a$

حد خستگی کاملاً معکوس (مگا پاسکال)  $S_f$

تنش میانگین (مگا پاسکال)  $S_m$

تنش نهایی (مگا پاسکال)  $S_{ut}$

## 8- مراجع

- [1] R. G. Budynas, J. K. Nisbett, *Shigley's Mechanical Engineering Design*, Ninth Edition. Published by McGraw-Hill, New York, 2011.